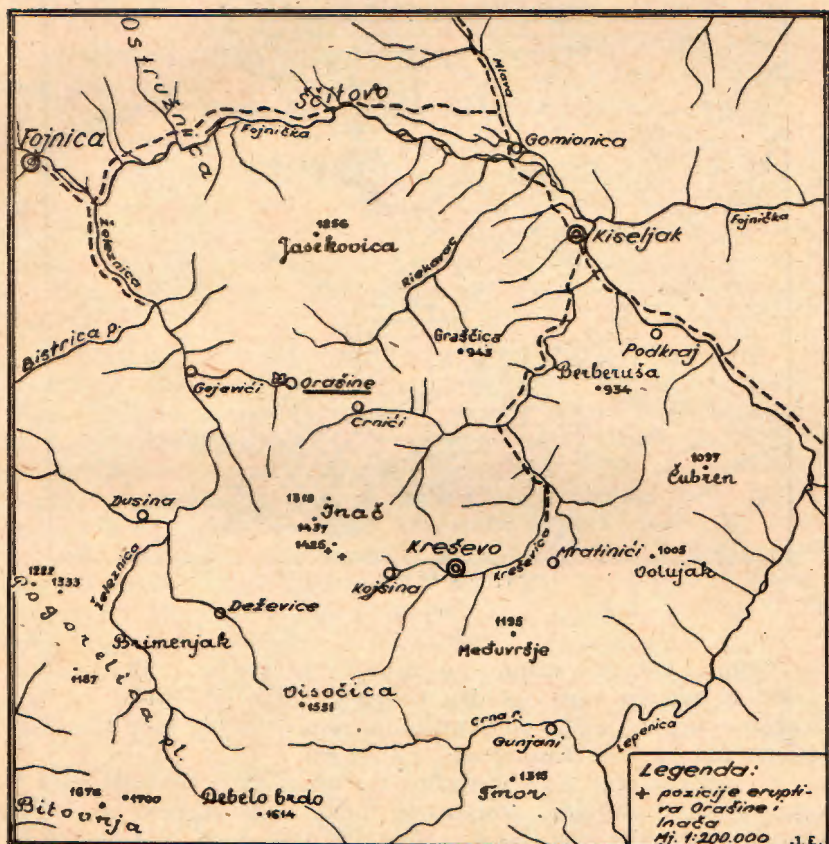


IVAN JURKOVIĆ

AUGITSKO-LABRADORSKI ANDEZIT
OD ORAŠINA JUGOISTOČNO OD BAKOVIĆA

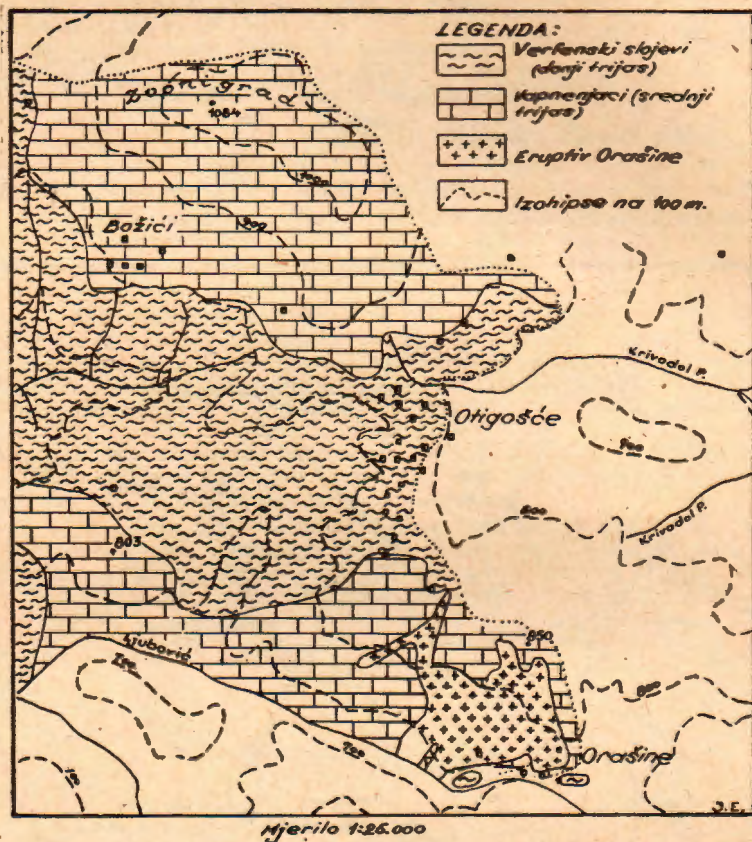
Između Fojnice i Kreševa, oko 2,5 km jugoistočno od Bakovića na području seoca Oraštine (sl. 1) nalazi se eruptivna pojava.



Sl. 1.

Godine 1950. mjeseca jula, za vrijeme proučavanja rudnih pojava u srednjebosanskom škriljavom gorju, izradio sam u zajednici

s A. FERENČIĆ (tada aps. ing. rud.) preglednu geološku kartu eruptivne pojave i uže okolice (sl. 2) i sakupio uzorke eruptiva za detaljno laboratorijsko ispitivanje.



Sl. 2.

Eruptiv zaprema južne i jugozapadne padine brežuljka s kotom + 850 m sve do korita potoka Ljubović (Ripulja). Preko tog područja vodi puteljak iz sela Orašine u selo Otigošće, koje se nalazi jugoistočno od kote Zvonograd (+ 1074 m).

Kota Zvonograd i njene padine izgrađeni su iz srednjetrijaskih vapnenjaka, drobljivog, školjkastog loma, sivkastobijele boje. Taj vapnenjak graniči u podini s verfenskim naslagama, bilo pločastim laporovitim vapnenjacima, bilo tipičnim verfenskim pločastim tinjčastim sedimentima. Verfenski slojevi su jako tektonski poremećeni. Na kratkim razmacima izmjenjuju se svi mogući padovi i pružanja i vrlo instruktivni primjeri boranja. Orašinski eruptiv probija verfenske i srednjetrijaske sedimente, te je prema tome mlađi od

njih. Javlja se na absolutnim visinama + 680 m do + 840 m, na površini 450 m × 350 m = 0.16 km².

Prve podatke o tom eruptivu dao je A. RÜCKER (1896, lit. 1 i 2) na svojoj preglednoj geološkoj karti zlatonosnih područja Srednje Bosne. RÜCKER je označio na toj karti pojavu melafira kao 1,5 km dugu, a 0,2 km široku eruptivnu žicu na području istočno od sela Gojevića jugoistočno od Bakovića. Taj podatak se kasnije zaboravlja i ne nalazimo ga na preglednoj geološkoj karti M 1 : 200.000 od F. KATZERA (1906, lit. 3). Tek godine 1939. pronalazi ponovo taj eruptiv pogonski inžinjer rudnika Bakovići S. KLEPINJIN. On je poslao uzorak stijene u Ljubljani V. V. NIKITINU, koji ju je determinirao »kao tipičan plagioklasov andezit sa mnogobrojnim, relativno svježim kristalima feldspata sastava od bazičnog andezina do labradora«.¹

Prvi je objavio Klepinjinov nalaz LJ. BARIĆ u jednom svom radu o bosanskom rudogorju (lit. 4., pag. 40). Kasnije A. POЛИĆ (lit. 5., pag. 347) diskutira o starosti tog eruptiva i smatra da je tercijerne starosti.

Eruptivna stijena od Orašina je zelenkasto smeđesive ili zelenkasto crnosive boje, gusta, porfirnog izgleda. U osnovnoj masi ističu se svjetlucavi, dosta svježi utrusci plagioklasa, većinom štapićastog izgleda, rjeđe pločasti. Ponegdje se zapažaju i mandule ispunjene kalcitom, rjeđe kloritom. Svježiji uzorci stijene djeluju na magnetsku iglu.

Mikroskopskim pregledom konstatirana je porfirna struktura s hipokristalinom osnovom. Utrusci plagioklasa i piroksena su pretežno jednoliko poredani u osnovi. Tek ponegdje se tako okupljaju da daju utisak bilo ofitske, bilo intersertalne strukture. U osnovi se nalaze idiomorfno razvijeni mikroliti plagioklasa, sitno zrnje piroksena i magnetita. Zapažaju se i sekundarni minerali: kalcit, klorit, epidot, coisit, sericit, kaolinska supstanca, limonit i zeolit (?). Preostali dio osnove pretstavlja staklo. Boja tog stakla je različita, ali pretežu smeđa i crna boja. Unutar izotropne mase vide se anizotropni globuliti i trihitici, koji se javljaju u zamjetljivoj količini. Osim njih anizotropiju pokazuju brojne točkice i pjegice u staklu.

Izvršena je integracija preparata D-115 na integracionom stolici. Osnova i akcesorni minerali čine 63,5%, plagioklasi 26,5%, pirokseni 5,0% i sekundarni minerali kalcit i klorit 5,0% površine preparata. Osnova daleko preteže nad utruscima; struktura je olifofirska (lit. 6., pag. 36). S druge strane utrusci plagioklasa višestruko premašuju utruske piroksena. Stijena je djelomično metamorfozirana, što se očituje u pojavi znatnih količina kalcita i klorita.

¹ Zahvaljujem prof. dr. ing. J. Duhovniku, što mi je poslao preparat tog uzorka. Pregledom se konstatiralo da odgovara našem, preparatu D-102 sa svježim plagioklasima, potpuno kloritiziranim piroksenima i djelomično limonitiziranim magnetitom osnove.

Plagioklasi. Dolaze u svim mogućim veličinama, od vrlo krupnih individuuma pa do vrlo sitnih, u mikroskopu jedva vidljivih. Pomoću mikrometarskog okulara izmjereno je na polarizacionom mikroskopu 42 individuuma plagioklasa raznih veličina. Najveći izmjereni plagioklas imao je dimenzije $2,0 \times 1,3$ mm, a najmanji $0,03 \times 0,03$ mm. Između tih krajnjih veličina postoje svi mogući prelazi u veličinama. Najveći individuumi zaostaju brojem za srednjima po veličini, a ovi pak za najsitnijima. Količinski odnos individuuma prve generacije ($2,0 \times 1,3$ mm do $1,2 \times 0,4$ mm) spram individuuma druge generacije ($0,8 \times 0,5$ mm do $0,22 \times 0,09$ mm) i treće generacije ($0,22 \times 0,06$ mm do $0,03 \times 0,03$ mm) iznosi okruglo 1:4:30.

Plagioklasi su većinom štapičasti i stubičasti, rjeđe pločasti po M (010). Nailaze se dosta često i posve nepravilni krpasti i trokutasti fragmenti plagioklasa najstarije generacije. Plagioklasi imaju dosta uklopaka, naročito veći individuumi i nepravilni fragmenti. Najčešći je uklopak osnovna masa smeđe ili crne boje sa sitnim kristalićima magnetita heksaedrijskog ili nepravilnog presjeka. Osnovna je masa ili bez reda razbacana ili pravilno okupljena između dvije zone plagioklasa. Kao uklopci dolaze i sitno nepravilno zrnje piroksena i sitni štapići apatita.

Gotovo svi su plagioklasi razvijeni kao sraslaci, rijetko se nailaze samci. Najčešće su polisintetski sraslaci sa užim ili širim lamelama, ali imaju i dvojaka, odnosno trojaka. Na pojedinim individuumima se zapaža jasna zonarna građa, ali s malim promjenama u kutevima potamnjena. Kod većih individuumima zonarna je građa slabije izražena.

Pretežan broj plagioklasa prve generacije nepodesan je za optička mjerena. Plagioklasi srednjih veličina su prilično svježi, sa oštrim pukotinama kalavosti po (001) i (010), jasnim kristalografskim oblicima i jasnim optičkim svojstvima. Među takvim svježijim plagioklasima izabrana su 4 individuuma za mjerena na Feodorovom teodolitnom stoliću (Lit. 7).

Rezultati mjerena:

No. 1. Preparat D-115/1. Sraslac trojak. Individuumi 1 i 2 srasli po karlovarskom zakonu [001], individuumi 2 i 3 po albitskom zakonu \perp (010) i individuumi 1 i 3 po zakonu obrnute usporednosti \perp [001].

(010)

$B_{1/2}$	$74\frac{1}{2}^{\circ}$	50°	$44\frac{1}{2}^{\circ}$	\perp [001] (010)	$48\frac{1}{2}\%$	an	$5\frac{1}{4}^{\circ}$ W
$B_{1/2}$	$67\frac{1}{2}^{\circ}$	51°	47°	[001]	47%	an	$1\frac{1}{2}^{\circ}$ SW
$B_{1/2}$	$28\frac{1}{2}^{\circ}$	64°	$79\frac{3}{4}^{\circ}$	\perp (010)	51%	an	2° ONO
$D_{1/2}$	$27\frac{1}{4}^{\circ}$	$63\frac{1}{2}^{\circ}$	82°	\perp (010)	48%	an	3° NO
K_1	$27\frac{1}{4}^{\circ}$	$63\frac{1}{2}^{\circ}$	82°	\perp (010)	48%	an	3° NO
K_2	$27\frac{1}{4}^{\circ}$	$63\frac{1}{2}^{\circ}$	82°	\perp (010)	48%	an	3° NO

Srednja vrijednost iz B, D i K iznosi $48\frac{1}{2}\%$ an = andezin.

No. 2. Preparat D-115/2.

$B_{1/2}$ — $75\frac{1}{4}^0$ 40^0 $53\frac{1}{4}^0$ — $\perp [001]$
 (010) — $56\frac{1}{2}^0\%$ an $2\frac{1}{2}^0$ WSW

$D_{1/2}$ — $31\frac{3}{4}^0$ $62\frac{3}{4}^0$ $75\frac{1}{4}^0$ — $\perp (010)$ — $58^0\%$ an 2^0 ONO

K_1 — $33\frac{1}{2}^0$ $60\frac{1}{2}^0$ 78^0 — $\perp (010)$ — $56^0\%$ an 5^0 ONO

K_2 — 30^0 65^0 $72\frac{1}{2}^0$ — $\perp (010)$ — $59\frac{1}{2}^0\%$ an 1^0 WSW

$$2 V_1 = + 79^0; 2 V_2 = + 80^0$$

Srednja vrijednost iz B, D i K iznosi $57\frac{1}{2}^0\%$ an = labrador.

No. 3. Preparat D-115/1. Sraslac dvojak po karlovarskom zakonu.

$B_{1/2}$ — 60^0 65^0 $41\frac{1}{4}^0$ — $[001]$ — $57^0\%$ an 4^0 WNW

$D_{1/2}$ — $35\frac{1}{2}^0$ $58\frac{3}{4}^0$ $75\frac{1}{4}^0$ — $\perp (010)$ — $60^0\%$ an 5^0 ONO

Srednja vrijednost iz B i D iznosi $58\frac{1}{2}^0\%$ an = labrador.

No. 44. Preparat D-115/2. Sraslac dvojak po karlovarskom zakonu.

$B_{1/2}$ — $61\frac{1}{4}^0$ $66\frac{3}{4}^0$ $38\frac{1}{2}^0$ — $[001]$ — $58\frac{1}{2}^0\%$ an $1\frac{3}{4}^0$ NW

$D_{1/2}$ — $32\frac{1}{4}^0$ $65\frac{1}{4}^0$ $71\frac{1}{2}^0$ — $\perp (010)$ — $61^0\%$ an 1^0 SW

K_1 — 29^0 $66\frac{1}{2}^0$ 74^0 — $\perp (010)$ — $58^0\%$ an $1\frac{1}{2}^0$ WSW

$$2 V_2 = + 78^0$$

Srednja vrijednost iz B, D K iznosi $59\frac{1}{4}^0\%$ an = labrador.

Metodom najvećeg simetričnog potamnjena izmjerena su dva individuuma plagioklasa:

1. zrno. Preparat D-115, velič. $0,21 \times 0,09$ mm $26^0:25^0 = 46^0\%$ an

2. zrno. Preparat D-115, velič. $0,40 \times 0,12$ mm $27^0:27^0 = 47^0\%$ an

Na plagioklasima su vrlo očiti kataklastički fenomeni. Mnogi individuumi su nepravilno raspucani, kadkad savijani u blagom luku, negdje su pojedini raspucali dijelovi pomaknuti iz ishodnog položaja. Zbog toga se na takvim individuumima javlja undulatorno potamnjene, ali još češće različit kut potamnjena za pojedine dijelove istog plagioklasa. Pukotine su većinom vrlo nepravilne, ali pretežu one, koje su okomite na dužu os plagioklasa.

Metamorfoza je najjače zahvatila prvu generaciju plagioklasa, znatno manje plagioklase mlađih generacija. Često se zapaža da su pojedine zone jače zahvaćene procesom metamorfoze ili pak granično područje dviju zona. Metamorfoza je intenzivnija duž pukotina nastalih kataklazom. Proizvodi metamorfoze plagioklasa po učestalosti: kalcit (karbonati), sericit, klorit, epidot, coisit.

Pirokseni. Daleko zaostaju količinom za plagioklasima. Veličine su im također manje. Nađena su tek dva veća zrna ($2,0 \times 0,2$ mm i $1,8 \times 1,2$ mm), dok su ostala srednje veličine ili vrlo sitna. Presjeci su kratkostubičasti ili kadkad izometrijski. Negdje nalazimo karakteristične oktogonalne prereze, no češće dolaze kao zaobljena ili nepravilna zrna. Javljuju se i kao krpice, raščijane na rubovima. Unutar piroksena opažamo zrnje magnetita. Skoro svi su individuumi piroksena raspucani, naročito veći individuumi. U pla-

gioklasima prve generacije javljaju se u formi duguljastih štapića. Na nekoliko mjesta se vidi da su dijelovi većih zrna piroksena uklopljeni za vrijeme rasta plagioklasa. Ti uklopljeni dijelovi su djelomice resorbirani. Pirokseni pokazuju sivkastu ili žučkastosivkastu boju.

Na Feodorovom teodolitnom stoliću izmjereno je 14 zrna piroksena. Većina od njih nije bila naročito podesna za mjerjenje zbog raspucalosti ili zbog jačeg ili slabijeg procesa metamorfoze, koji ih je zahvatio.

1. zrno c \wedge Ng = 46°	8. zrno c \wedge Ng = 41° 2V = + 61°
2. zrno 2V. = + 52°	9. zrno 2V = + 58°
3. zrno c \wedge Ng = 47° 2V = + 62°	10. zrno c \wedge Ng = 50° 2V = + 54°
4. zrno c \wedge Ng = 50° 2V = + 52°	11. zrno 2V. = + 59°
5. zrno 2V = + 58°	12. zrno c \wedge Ng = 49°
6. zrno c \wedge Ng = 42°	13. zrno 2V = + 50°
7. zrno c \wedge Ng = 50°	14. zrno c \wedge Ng = 49° 2V = + 56°

Usporedimo li rezultate mjerjenja sa podacima literature (lit. 8., pag. 276—291 i lit. 9., pag. 402—418) to vidimo da se radi o augitima u širem smislu. U unakrštenim nikolina pirokseni interferiraju (već prema presjeku) u žučkastosivim, crvenim i modrozelenim bojama. Ponegdje se opažaju sraslaci po (100), a unutar njih i po koja sraslačka lamela. Neki augiti su zonarno građeni, jedna zona (obično vanjska) je više, manje kloritizirana. Većinu piroksena zahvatila je barem djelomična metamorfoza, naročito duž brojnih prslina mrežastog izgleda. Najčešći produkti metamorfoze su klorit i kalcit. Kadkad su cijela zrna prešla u agregat tih dvaju minerala.

Magnetit. Javlja se kao akcesoran mineral. Pretežno kao nepravilno zrnje i nakupine zrnja, kadkad u heksaedrijskim presecima. Tamo gdje se okuplja u većim količinama preparat je gotovo crn. Dolazi uklopljen u plagioklasima i piroksenima. Metamorfoziraju se u limonit.

Apatisit. Kao akcesoran mineral opažen u obliku uklopaka u plagioklasima.

Osnova. Količinom znatno nadmašuje utruske. U njoj se ističu mikroliti plagioklasa u obliku tankih štapića ili finih iglica manjih od 0,03 mm dužine. Imade i vrlo sitnog zrnja magnetita, koje je djelomično limonitizirano. Rjeđe se javlja sitno zrnje piroksena, krpice klorita i kalcita, nešto epidota i coisita te nepravilno, zaobljeno ili rasperjano zrnje kremena. Ostatak osnove sačinjava staklo, koje je pretežno smeđe i crne boje. Ispunjeno je kristalitima, uglavnom globulitima i trihitima.

Mandule. Vrlo rijetko javlja se i po koja mandula ispunjena kalcitom, kadkad i kloritom.

Na relativno svježem uzorku stijene izvršena je kvantitativna kemijska analiza po propisima navedenim kod J. JAKOBA (lit. 10), jedino je FeO određen po propisu citiranom u djelu I. M. KOLT-

HOFF-E. B. SANDELL-a (lit. 11., pag. 675). CO_2 je određen gravimetrijski određivanjem gubitka težine supstance oslobođanjem CO_2 sa solnom kiselinom u staklenoj aparaturi.²

Analitik: Ivan Jurković

	Analiza		Srednja vrijednost	Utezni % bez vode	Molek. kvocij.
	br. I	br. II			
SiO_2	54,09%	53,94%	54,02%	55,33%	921
TiO_2	1,33%	1,35%	1,34%	1,37%	17
Al_2O_3	19,60%	19,64%	19,62%	20,09%	197
Fe_2O_3	3,60%	3,66%	3,63%	3,72%	23
FeO	4,32%	4,28%	4,30%	4,40%	61
MnO	0,16%	0,16%	0,16%	0,16%	2
MgO	3,01%	2,97%	2,99%	3,06%	76
CaO	6,21%	6,34%	6,27%	6,42%	115
Na_2O	4,25%	4,15%	4,20%	4,30%	69
K_2O	0,86%	0,90%	0,88%	0,90%	10
P_2O_5	0,24%	0,24%	0,24%	0,25%	2
$\text{H}_2\text{O}-$	0,61%	0,64%	0,63%	—	—
H_2O^+	0,70%	1,86%	1,89%	—	—
CO_2	1,23%			—	—
Ukupno	100,21%	100,13%	100,17%	100,00%	1493

Preračunavanjem po CIPW sistemu dobivamo:

	il	ap	or	ab	an	mt	hy	Q	C	
molekul. kvocij.	34	8	80	552	436	46	198	130	9	1493
tež. postotci	2,58	0,62	5,56	36,15	30,32	5,33	10,66	7,81	0,92	99,95%

$$\left. \begin{array}{l} C = 0,92\% \\ Q = 7,81\% \\ F = 72,03\% \end{array} \right\} \quad \begin{array}{l} P = 10,66\% \\ M = 7,91\% \\ A = 0,62\% \end{array} \quad \left. \begin{array}{l} Sal = 80,76\% \\ M = 7,91\% \\ A = 0,62\% \end{array} \right\} \quad \begin{array}{l} Fem = 19,19\% \\ An = \frac{30,32 \times 100}{66,47} = 45,61\% \end{array}$$

² Zahvaljujem ing. Vrbanac Olgi, asistentu Zavoda za anorg. kem. tehnič. Tehn. fakulteta u Zagrebu, što mi je stavila na raspolaganje aparatru za određivanje CO_2 i dala upute za rad.

Iz gornjih rezultata izlazi po CIPW sistemu (lit. 12., pag. 407—449; lit. 6., pag. 49—53) slijedeći parametar:

II (1). 5. (3) 4. (5) 4.

Preračunavanjem po metodi P. NIGGLI-a (lit. 13) dobivamo slijedeće NIGGLIEVE vrijednosti:

si	al	fm	c	alk	k	mg	ti	p
160	34,5	32	20	13,5	0,13	0,41	3,1	0,36

Karakteristika magme po P. NIGGLI-u:

- 1) $170 > 160.1 > 130 \dots$ slabo bazična magma
- 2) $15 < 19.97 < 25 \dots$ normalna sa c magma
- 3) $al \approx fm \dots$ izofalska magma
- 4) $alk < \frac{1}{2} al \dots$ magma relativno siromašna na alkalijskim jama
- 5) $qz = 5,25 \dots$ magma srednje zasićenosti sa SiO_2

Gornje karakteristike odgovaraju najbolje normalno dioritskoj magmi, jedino su znatnija otstupanja u vrijednostima k i ti.

Po mineralnom sastavu, kemijskoj analizi i parametrima naša stijena spada u granično područje andezit-bazalt. Nomenklatura za to područje nije jedinstvena, dosta se razlikuje kod različitih autora. Po P. NIGGLI-u (Lit. 13., pag. 204—206), koji diskutira o tom problemu, to granično područje može se podijeliti u 4 polja na temelju postotka *an* i odnosa svjetlijih i tamnijih komponenata.

An	Stijena relativno leukokratna	Stijena relativno melanokratna
<50%	Polje I A n d e z i t i Po svim autorima	Polje II St. evrop. (njem.) škola: Po Barthu Po A. Lacroix-u
>50%	Polje III St. evr. škole andeziti Po Barth-u andeziti Po Fouqué-Michel-Lévy-u labradoriti Po A. Lacroix-u labradoriti Po P. Niggli-u leukobazalti Po A. Johannsenn-u bazalti	andezinski bazalti Po P. Niggli-u andezit bazalt Po A. Johannsenn-u andeziti Polje IV B a z a l t i po svim autorima

U našoj stijeni od Orašina među utruscima plagioklasi višestruko nadmašuju piroksene, a osim toga odnos Sal/Fem je visok, stijena je leukokratna. Spada prema tome u polja I i III. U koje od tih polja pripada odlučuje srednji postotak *an* plagioklasa. Činjenica je, da su veliki i srednji utrusci kiseli labradori, a mali bazični andezini. Kakvi su mikroliti nismo mogli odrediti. Na taj način iz modalnog sastava nismo mogli sa sigurnošću zaključiti koliki je srednji % *an* iako se vidi da je vrlo blizu 50%. Zbog toga smo

izračunali *an* iz normativnog sastava, iako to nije mineraloški najpravilnije. (A. JOHANNSEN dozvoljava taj postupak, kad je osnova staklasta ili hipokristalina kao što je kod naše stijene). Kako je *an*, ratunski dobiven, iznosio 45,61% to smo stijenu stavili u polje I tj. među andezite. Da već u imenu naglasimo da je stijena prelazan tip nazvali smo je augitsko-labradorski andezit. Granicu andezit-bazalt uzeli smo po A. JOHANNSENU (Lit. 14., pag. 161 i pag. 250) kod $Ab_1 An_1$. Naglašujemo da klasifikaciju po geološkoj starosti smatramo petrografske neispravnom i u tome se priklanjamo gledištu A. JOHANNSENA (I—c.).

Osim opisanog tipa eruptivne stijene nailazimo na dijelu erupтивне mase, koja graniči sa trijaskim vapnenjacima i varijetet zelenkastosive boje, također porfirnog izgleda. U osnovnoj masi zelenkastosive boje ističu se utrusci plagioklasa i dosta brojne mandule ispunjene kalcitom i kloritom. Kako je postojala opravdana mogućnost da je kod prodora magme došlo do kontaminacionih procesa i adicije CaO iz vapnenjaka, u kojima je uslijedio prođor, to je taj varijetet također podvrgnut detaljnom mikroskopskom i kemijskom istraživanju.

Mikroskopskim pregledom preparata te stijene vidi se porfirna struktura s idiomorfno razvijenim, relativno svježim utruscima plagioklasa, i potpuno metamorfoziranim piroksenima. U hipokristalinoj osnovi dolaze idiomorfno razvijeni mikroliti plagioklasa, zatim magnetit, apatit i relativno dosta sekundarnih minerala: kalcita, klorita, kremena, epidota, coisita, limonita. Posebno se ističu u preparatima veće i manje mandule.

Na integracionom stoliću izvršena je integracija najkarakterističnijih mikroskopskih preparata:

	D—93/I	D—93/II	D—93/II	D—92/I	D—96
Osnova	51,5%	56,6%	63,1%	59,3%	57,4%
Plagioklas	30,1%	27,7%	22,3%	26,0%	27,6%
Klorit	7,2%	10,4%	8,1%	9,0%	}12,3%
Kalcit	6,8%	3,2%	3,0%	3,6%	
Magnetit i kremen	4,4%	2,1%	3,5%	2,1%	2,7%
	100,0%	100,0%	100,0%	100,0%	100,0%

Znatna količina kloritske supstance potječe od potpuno metamorfoziranih piroksena, a nešto i iz metamorfoziranih plagioklasa, a ostalo iz osnove. Količina magnetita varira, jer je u nekim preparatima djelomično limonitiziran i kao takav integriran sa osnovom. Kalcit jednim dijelom potječe iz mandula, a ostatak iz metamorfoziranih glagiolaska i piroksena. Potpuno metamorfozirani plagioklasi kojima se teško uočavale konture integrirani su sa osnovom. Integracija pokazuje da preko 50% površine preparata sačinjava osnova (oligofirska struktura), a plagioklasi daleko pretežu

nad ostalim utruscima. Iz rezultata integracije vidi se istodobno stupanj i karakter metamorfoze stijene.

Posebno su integrirane mandule u istim preparatima da bi se ustanovila količina kalcita i klorita, vezana u njima:

	D—93/I	D—93/II	D—93/III	D—92/I	D—96	D—93/IV
Kalcit	3,2%	3,9%	1,2%	0,8%	1,8%	0,9%
Klorit i kremen	0,8%	0,1%	1,2%	1,5%	1,5%	1,8%

Srednja vrijednost: 1,96% kalcita i 1,15% klorita i kremena = 3,11% mandula.

Plagioklasi. Po veličinama zrna pojedinih generacija, oblicima i ostalim karakteristikama naliče potpuno plagioklasima u prije opisanoj stijeni. Jedino je stupanj metamorfoze u ovoj stijeni jači. Za mjerjenje na Feodorovom teodolitnom stoliću izabrano je 7 individuuma plagioklasa iz preparata D-93 i D-96.

Rezultati mjerena:

No. 1. Preparat D-93. Sraslac trojak, veličine $0,90 \times 0,21$ mm. Individuumi 1 i 2 srasli su po karlovarskom zakonu [001], individuumi 2 i 3 po albitskom zakonu \perp (010), a 1 i 3 po zakonu obrnute usporednosti $\frac{\perp [001]}{(010)}$

B _{1/2} — 61 ^{3/4} °	63°	40 ^{1/2} °	— [001] — 56%	an 2°	WNW
B _{1/2} — 32°	62°	76 ^{1/2} °	— \perp (010) — 57%	an 3 ^{1/4} °	ONO
B _{1/2} — 73°	41°	53°	— $\frac{\perp [001]}{(010)}$ — 58%	an 4°	WSW
D _{1/2} — 32 ^{1/3} °	62 ^{1/2} °	76°	— \perp (010) — 57 ^{1/2} %	an 2 ^{1/2} °	ONO
D _{2/3} — 32°	61 ^{1/2} °	76 ^{3/4} °	— \perp (010) — 56 ^{1/2} %	an 3°	ONO
K ₂ — 34 ^{1/2} °	59°	77°	— \perp (010) — 57 ^{1/2} %	an 6°	ONO
T ₁ — 33°	63°	75°	— \perp (010) — 59%	an 2 ^{1/2} °	ONO
T ₂ — 34 ^{1/2} °	57 ^{1/2} °	78°	— \perp (010) — 56%	an 7°	ONO

2V₁ = + 79°; sred. vrij. iz B, D, T i K = 57% an = labrador.

No. 2. Preparat D-93. Sraslac dvojak po zakonu obrnute usporednosti, veličine $1,2 \times 0,8$ mm.

B _{1/2} — 74 ^{1/2} °	42°	52°	— $\frac{\perp [001]}{(010)}$ — 56%	an 3 ^{1/2} °	WSW
D _{1/2} — 32 ^{3/4} °	61°	77°	— \perp (010) — 56 ^{1/2} %	an 4°	ONO
K ₁ — 36 ^{1/2} °	55 ^{1/2} °	80 ^{1/4} °	— \perp (010) — 56%	an 9°	ONO
K ₂ — 31°	66°	73 ^{1/2} °	— \perp (010) — 59%	an 1°	WSW

2V₁ = + 78°; sred. vrij. iz B, D i K = 56^{1/2}% an = labrador.

No. 3. Preparat D-93. Sraslac trojak, jedan između najvećih utrusaka. Individuumi 1 i 2 srasli su po zakonu obrnute usporednosti, 2 i 3 po albitskom zakonu, a 1 i 3 po karlovarskom zakonu.

$B_{1/2}$	$771/2^0$	$371/2^0$	56^0	$\perp [001]$ (010)	$581/2^0\%$	an	$1/2^0$ WSW
$B_{3/4}$	$311/4^0$	$641/2^0$	$741/2^0$	$\perp (010)$	$581/2^0\%$	an	$1/2^0$ NO
$B_{1/2}$	65^0	$691/2^0$	$331/4^0$	$\perp [001]$	$601/2^0\%$	an	$31/2^0$ SO
$D_{1/2}$	33^0	$631/2^0$	$723/4^0$	$\perp (010)$	$61^0\%$	an	$3/4^0$ ONO
K_1	31^0	$691/2^0$	70^0	$\perp (010)$	$661/2^0\%$	an	6^0 WSW
K_2	37^0	56^0	75^0	$\perp (010)$	$601/2^0\%$	an	$71/2^0$ ONO
T_1	33^0	67^0	$691/2^0$	$\perp (010)$	$66^0\%$	an	$21/2^0$ WSW
T_2	36^0	57^0	73^0	$\perp (010)$	$62^0\%$	an	6^0 ONO

$2V$ se nije dalo sa sigurnošću izmjeriti.

Srednja vrijednost iz B , D , K , i $T = 61\%$ $an = \text{labrador}$.

Srednja vrijednost iz B i $K = 59\%$ $an = \text{labrador}$.

No. 4. Preparat D-96. Sraslac trojak, veličine $1,0 \times 0,45$ mm. Individuum 3 zonarno građen. Međusobno su srasli po albitškom, karlovarskom i zakonu obrnute usporednosti.

$B_{1/2}$	$281/2^0$	$671/4^0$	$751/2^0$	$\perp (010)$	$56^0\%$	an	2^0 WSW
$B_{3/4}$	$671/2^0$	58^0	$423/4^0$	$\perp [001]$	$52^0\%$	an	$11/2^0$ OSO
$B_{1/2}$	76^0	44^0	48^0	$\perp [001]$ (010)	$52^0\%$	an	2^0 WSW
K_1	29^0	$651/2^0$	76^0	$\perp (010)$	$551/2^0\%$	an	$1/2^0$ WSW
$D_{1/2}$	29^0	69^0	76^0	$\perp (010)$	$57^0\%$	an	3^0 WSW
$D_{3/4}$	29^0	$651/2^0$	$771/2^0$	$\perp (010)$	$54^0\%$	an	točno
$D_{1/2}$	$301/4^0$	63^0	76^0	$\perp (010)$	$56^0\%$	an	$13/4^0$ ONO

$2V_2 = + 761/2^0$; srednja vrijednost iz B , D i $K = 542/3^0\%$ $an = \text{labrador}$.

No. 5. Preparat D-96. Sraslac dvojak po karlovarskom zakonu, veličine $0,9 \times 0,4$ mm.

$B_{1/2}$	$611/2^0$	$731/4^0$	33^0	$\perp [001]$	$66^0\%$	an	$13/4^0$ SO
$D_{1/2}$	34^0	$623/4^0$	$721/4^0$	$\perp (010)$	$631/2^0\%$	an	$11/2^0$ NO
K_2	34^0	$621/2^0$	71^0	$\perp (010)$	$64^0\%$	an	$11/2^0$ NO

Srednja vrijednost iz B , D i $K = 641/2^0\%$ $an = \text{labrador}$.

No. 6. Preparat D-96. Sraslac dvojak, jedan od manjih po veličini. Zbog male površine teško se izvelo mjerjenje i trokut pogriješaka je velik.

$B_{1/2}$	$631/2^0$	$603/4^0$	$433/4^0$	$\perp [001]$	$54^0\%$	an	3^0 WNW
$D_{1/2}$	31^0	$621/2^0$	$751/2^0$	$\perp (010)$	$57^0\%$	an	$11/4^0$ ONO
K_1	28^0	37^0	$721/2^0$	$\perp (010)$	$571/2^0\%$	an	$21/2^0$ WSW

$2V = + 78^0$; srednja vrijednost iz B , D i $K = 56^0\%$ $an = \text{labrador}$.

No. 7. Preparat D-93/IV. Sraslac dvojak. Trokut pogriješaka zbog male površine zrna relativno velik.

$B_{1/2}$	$333/4^0$	65^0	$761/2^0$	$\perp (010)$	$561/2^0\%$	an	1^0 NO
$D_{1/2}$	$293/4^0$	65^0	$761/2^0$	$\perp (010)$	$55^0\%$	an	1^0 NO
K_1	27^0	68^0	$771/2^0$	$\perp (010)$	$521/2^0\%$	an	3^0 ONO
K_2	$321/2^0$	$621/4^0$	76^0	$\perp (010)$	$571/2^0\%$	an	3^0 ONO

Srednja vrijednost iz B, D i K = $55\frac{1}{2}\%$ an = **labrador.**

Prema tome mjerena svih 7 individuuma plagioklasa (srednji i najveći) pokazala su da se radi o kiselim labradorima sa $54\frac{2}{3}\%$ do $64\frac{1}{2}\%$ an.

Metodom najvećeg simetričnog potamnjena (Michel-Levy) izmjereno je 9 zrna plagioklaza:

1. zrno, veličine $0,9 \times 0,20$ mm, D-93/IV, $32^\circ : 32^\circ = 55\%$ an
2. zrno, " $1,3 \times 0,04$ mm, D-93/IV, $26^\circ : 25^\circ = 46\%$ an
3. zrno, " $0,65 \times 0,20$ mm, D-93/IV, $26^\circ : 26^\circ = 47\%$ an
4. zrno, " $0,40 \times 0,08$ mm, D-93/IV, $31^\circ : 29^\circ = 52\%$ an
5. zrno, " $0,22 \times 0,14$ mm, D-93/II, $22^\circ : 21^\circ = 40\%$ an
6. zrno, " $0,44 \times 0,18$ mm, D-93/IV, $26^\circ : 27^\circ = 47\%$ an
7. zrno, " $0,18 \times 0,10$ mm, D-93/II, $24^\circ : 24^\circ = 42\%$ an
8. zrno, nije mjerena veličina, D-93/IV, $25^\circ : 26^\circ = 46\%$ an
9. zrno, nije mjerena veličina, D-93/IV, $32^\circ : 31^\circ = 54\%$ an

Postotak an kod zrna plagioklaza srednje veličine i manjih varira između 40% an — 55% an, tj. odgovaraju bazičnim andezitima i kiselim labradorima.

Piroksen. Potpuno su metamorfozirani u agregat klorita i kalcita; klorit preteže. Prijašnje konture zrna većinom su vidljive.

Magnetit. Javlja se kao nakupine zrnja, djelomice nepravilnih oblika, djelomice u heksaedrijskim prešjecima. Jednim je dijelom oksidiran u limonit. Mjestimice se jače okuplja.

Apatis. Kao štapići uklopljeni u plagioklasima.

Biotit. Opažen samo jedan individuum kao uklopak u plagioklasu (D-93/II.).

Kremen. Dolazi u obliku nepravilnih zrnaca, većinom rasperjanih. Sekundarnog je porijekla.

Osnova. Boja joj je različita, većinom je zelenkastosive boje od znatnih količina kloritske supstance, ponegdje crna od jačeg okupljanja magnetita ili crvenosmeđa u koliko je taj magnetit djelomice oksidiran. Puna je mikrolita plagioklasa, sitnog zrnja magnetita te krpica i zrnja minerala kalcita, klorita, nešto epidota i coisita te kremana. Ostatak osnove je staklo crvenosmeđe i smeđecrne boje sa primjetljivim globulitima i trihitima. Djelomice je izotropan, a djelomice pokazuje agregatnu polarizaciju ili polarizaciju u vidu točkica i mrljica.

Mandule. Karakteristične su za tu eruptivnu stijenu. To su šupljine nastale oslobađanjem plinova i para iz lave, koje su u hidrotermalnoj fazi ispunjene sekundarnim mineralima: kalcitom, kloritom, kremenom, zeolitima (?). Mikrometarskim okularom izmjereno je 8 mandula različitog sastava i veličina. Najveće su obično mandule sa kalcitom ($1,3 \times 0,7$ mm; $1,5 \times 1,0$ mm; $0,7 \times 0,6$ mm). Jedna ispunjena pretežno kalcitom, a na rubovima s kloritom i zrcanicima kremana imala je veličinu $1,0 \times 1,0$ mm; jedna ispunjena kloritom $0,7 \times 0,7$ mm; kloritom i kremenom $0,7 \times 0,6$ mm, $0,4 \times 0,4$ mm i $1,0 \times 0,6$ mm. Sukcesija stvaranja minerala u mandulama:

kremen (kalcedon), zeoliti (?), klorit, kalcit. Kalcit je većinom krupnozrn sa karakterističnim romboedrijskim sistemom kalavosti, čiji tragovi su često savinuti. Pod unakrštenim nikolima vide se tipični tlačni sraslaci. Sraslački šavovi su kadkad savijeni. Opaža se i undulatorno potamnjene. Mandule često pokazuju znakove kataklaze. Neke od prslina potječu od sušenja primarno u obliku gela stvorenih minerala mandula.

Na uzorku stijene D-93 izvršena je kvantitativna kemijska analiza po prije navedenim propisima, jedino je CO_2 određen metodom žarenja u MAREKOVOM aparatu, vezanjem na natronsko vapno i izračunavanjem iz prirasta težine. U sljedećoj tabeli prikazani su rezultati kvantitativne kemijske analize i preračunavanja na molekularne kvocijente.

Analitik: Ivan Jurković

	Utezni %	Utezni % bez vode	Molek. kvoci- jenti	
SiO_2	49,75	53,49	891	
TiO_2	1,25	1,34	17	
Al_2O_3	16,76	18,02	177	
Fe_2O_3	3,42	3,68	23	
FeO	3,51	3,77	52	
MnO	0,16	0,17	2	
MgO	2,78	2,99	74	
CaO	10,72	11,53	206	
Na_2O	3,64	3,91	63	
K_2O	0,78	0,84	9	
P_2O_5	0,24	0,26	2	
$\text{H}_2\text{O}-$	0,64	—	—	
H_2O^+	2,54	—	—	
CO_2	3,96	—	—	
Ukupno	100,15%	100,00%	1516	

Preračunavanjem po CIPW sistemu dobivamo:

	cc	il	ap	or	ab	an	mt	di-	hy	Q	
Molekul. kvocij.	40	34	8	72	504	420	46	300	26	86	1536
postotci (težinski)	1,14	2,55	0,56	4,96	33,10	29,21	5,33	16,62	1,36	5,17	100,00
	0,86										100,86

Kod gornjeg preračunavanja uzeto je u obzir da se integracijom preparata dobilo cca 2,0% CaCO₃ u mandulama. CaO vezan za taj kalcit oduzet je od ukupnog CaO i vezan kao cc.

$$An = \frac{29,21 \times 100}{62,31} = 46,88\% \text{ bazični andezin}$$

$$\left. \begin{array}{l} Q = 5,17\% \\ F = 67,27\% \end{array} \right\} Sal = 73,44\% \quad \left. \begin{array}{l} P = 17,98\% \\ M = 7,88\% \\ A = 2,56\% \end{array} \right\} Fem = 28,42\%$$

Iz gornjih podataka izlazi po CIPW sistemu slijedeći parametri:

II (1). 5. 4. (4) 5.

Preračunavanjem po metodi P. NIGGLI-a dobivamo slijedeće vrijednosti:

si	al	fm	-c	alk	k	mg	ti	p
142	28	27,5	33	11,5	0,14	0,43	2,8	0,33

Analizirani varijetet eruptivne mase kod Orašina, koji je uzet sa kontakta eruptiv-vapnenjak, pokazuje znatno izmjenjen kemijsam. Tu promjenu kemizma možemo najlakše protumačiti pretpostavkom da je kod prodora magme došlo do kontaminacionih procesa i do asimilacije CaO iz vapnenjaka.

F. TUČAN (lit. 15., pag. 178—189) opisuje melafiru sličan augitsko-labradorski andezit od Vrata u Hercegovini. Njegov mikroskopski opis se skoro u detalje slaže s mikroskopskim nalazom naše stijene od Orašina (kontaminacijom izmjenjen varijetet). Kemija analiza koju je izvršio L. MARIĆ (lit. 15., pag. 186) dala je neuobičajene NIGGLIjeve parametre, tako da su je C. BURRI i P. NIGGLI (lit. 16., pag. 137) smatrali endomorfno izmjenjenom i označili njenu magmu »endomorph«. Njihova prepostavka pokazala se točnom, jer se kod naše stijene od Orašina zbio isti proces. Time je i kemijkska analiza andezita od Vrata dobila svoje razjašnjenje. Naše je mišljenje da su karakteri ishodnih magmi za andezite od Vrata i Orašina bili vrlo slični, ako ne i isti.

Stijenu od Orašina nazvali smo augitsko-labradorski andezit, iako se po kemizmu znatno razlikuje od kemizma prosjeku 43 augit-andezita kako ga navodi R. A. DALY (lit. 17., pag. 447/448). Naročito je upadna razlika u međusobnom odnosu alkalija, što se vidi po NIGGLIjevoj vrijednosti k. Na to ime prinudila nas je činjenica (kako smo ranije obrazložili) što u normativnom sastavu dobivamo bazičan andezin sa 45,6% an.

Po svom kemizmu stijena od Orašina je bliža tzv. andezin-bazalima (lit. 17., pag. 451) nego augitskim andezitim. Za andezin-bazalte kaže R. A. DALY (lit. 17., pag. 451) da su se razvili iz inicijalne bazalne magme subtraktivom prvo bitno stvorenih kristala olivina, magnetita i ilmenita. Po njegovom mišljenju augit-andeziti se nisu mogli razviti na taj način, pa ni uz prepostavku jače subtraktivne prvo bitno stvorenih kristala, jer je kod njih relativno velika količina K₂O, koji je morao doći kontaminacijom. Osim toga

augit-andeziti su rijetko vezani na osamljene silove, dajkove ili injeckije, već se nalaze unutar ili ispod vulkanskih kanala.

Gornja razmatranja R. A. DALY-a mogla bi se primijeniti i na augitivnu stijenu od Orašina i prepostaviti, da se njena magma razvila iz inicijalne bazaltne magme gravitacionom diferencijacijom pretežno stvorenih kristala i kasnije vrlo ograničenom asimilacijom Si-al-a, čime bi se protumačio nešto povišeni sadržaj na Al_2O_3 i SiO_2 . Kasnije kod same efuzije jedan dio magme kontaminirao je CaO iz vapnenjaka i dao bazičniji varijetet sa visokim sadržajem CaO . Toj prepostavci odgovaralo bi vrijeme efuzije istovjetno sa trijasko-jurskim inicijalnim magmatizmom u našoj zemlji.

Stijenu od Orašina mogli bi uporediti i sa augitsko-labradorским andezitim, koji su otkriveni i opisivani u novije doba u našoj zemlji. B. DIMITRIJEVIĆ i M. ILIĆ (lit. 18) opisuju labradorske andezite sa Crnog Vrha i Ješevca u Šumadiji; M. ILIĆ (lit. 19) labradorske i bitovnitske andezite Lepoglave i M. ILIĆ (lit. 20.) labradorske andezite okolice Banjske (Kosovska Mitrovica). Mikroskopska analiza tih stijena gotovo je identična sa onom stijene od Orašina. Međutim kemijske analize nisu učinjene, te se zbog toga ne može utvrditi identitet magme. Po mišljenju M. ILIĆA te stijene predstavljaju prelaz između andezita i bazalta i pripadaju završnom tercijarnom magmatizmu.

Pojava mandula u stijeni pokazuje na mogućnost, da se radi o podmorskим erupcijama. Obzirom na to da nema marinskih sedimenata mlađih od trijasa u tom području, erupcija bi bila trijaske starosti, a stijena paleotipna (po klasifikaciji ROSENBUSCHA augit-porfirit).

LITERATURA

1. A. RÜCKER, Geologische Übersichtskarte des Goldgebietes in Bosnien nach den Aufnahmen vom dr. E. Mojisovics, dr. E. Tietze, dr. A. Bittner, Bruno Walter, Heinrich Br. Foullon zusammengestellt von A. Rücker k. k. Oberbergrath (M 1 : 150.000).
2. A. RÜCKER, Einiges über das Goldvorkommen in Bosnien. Wien 1896.
3. F. KATZER, Geologische Übersichtskarte von Bosnien-Herzegowina. I. Sechstelblatt: Sarajevo M 1 : 200.000. Sarajevo 1906.
4. LJ. BARIĆ, Mineraloško-petrografska istraživanje bosanskog rudo-gorja. — Vjestnik Hrv. geol. zav. i geol. muz. I. Zagreb 1942. pag. 39—45.
5. A. POLIĆ, O ispitivanju rudnih pojava srednjebosanskih škriljastih planina. — Geol. Vesnik, knj. IX. Beograd 1951. pag. 343—349.
6. L. MARIĆ, Sistematska petrografija. Zagreb 1951.
7. V. V. NIKITIN, Die Feodorow-Methode. Berlin 1936.
8. V. I. LUČICKIJ, Petrografija. Tom I. Moskva-Leningrad 1947.
9. A. N. WINCHELL-H. WINCHELL, Elements of Optical Mineralogy. Part II. Descriptions of Minerals. Fourth edition. New York 1951.
10. J. JAKOB, Chemische Analyse der Gesteine und silikatischen Mineraleien. Basel 1952.
11. I. M. KOLTHOFF-E. B. SANDELL, Anorganska kvantitativna analiza (prijevod). Zagreb 1952.
12. J. P. IDDINGS, Igneous rocks. Vol. I. New York 1909, pag. 394—449.
13. C. BURRI-P. NIGGLI, Die jungen Eruptivgesteine des mediterranen Orogen. Erster Hauptteil. Zürich 1945.

14. A. JOHANNSEN, A descriptive Petrography of the igneous rocks. Volume III. The intermediate rocks. Chicago 1952.
15. F. TUČAN, Andezitska erupcija u hercegovačkom kršu. — Vijesti Geol. Zav. u Zagrebu. II. 1927/28. Zagreb 1928. pag. 178—188.
16. C. BURRI-P. NIGGLI, Die jungen Eruptivgesteine des mediterranen Orogen. Zweiter Hauptteil. Zürich 1949.
17. R. A. DALY, Igneous rocks and the depths of the earth. Second edition. New York and London 1933.
18. B. DIMITRIJEVIĆ I M. ILIĆ, Labradorski andezit na Crnom Vrhu i Ješevcu (Šumadija). Vesnik Geol. Inst., knj. VII. Beograd 1938.
19. M. ILIĆ, Labradorski i bitovnitski andeziti Lepoglave. Zapisnici srpskog geol. društva za 1938. god. Beograd 1939, pag. 16—19.
20. M. ILIĆ, O pojavi labradorskih andezita u okolini Banjske. Glasnik prirodnjačkog muzeja srpske zemlje. Serija A, knj. 4. Beograd 1951. pag. 144—160.

Ivan Jurković

AUGIT-LABRADOR-ANDESIT VON ORAŠINE SO VON BAKOVIĆI

Z U S A M M E N F A S S U N G

Das beschriebene Eruptivgestein befindet sich südöstlich von Bakovići beim Dörfchen Orašine. Es hat Werfenerschichten und triadische Marmorkalke durchbrochen.

Das Gestein hat eine porphyrische Struktur mit einer hypokristallinischen Grundmasse. Als Einsprenglinge sind Plagioklase und in viel geringerem Ausmass Pyroxene vertreten. Die Plagioklase sind von verschiedener Grösse, von über 1 mm bis 0.03 mm. Die Messungen nach der FEODOROW-Methode zeigten, dass die Plagioklasse basische Andesine und saure Labradore sind (49—59% an). Sie sind teilweise metamorphosiert besonders die Plagioklase der ersten Generation. Die Pyroxene sind überwiegend Augite. Die Metamorphose in Chlorit und Kalzit ist auch bei ihnen wahrnehmbar. Manche Plagioklase und fast alle Pyroxene zeigen kataklastische Phänomene. Als Akzessorien sind Magnetit und Apatit.

Die Grundmasse ist mit Plagioklasmikrolithen, Pyroxenkörnern und sekundären Mineralen ausgefüllt, das braun und schwarz gefärbte Glas mit Globulithen und Trychiten.

Das Eruptivgestein ist teilweise metamorphosiert. Die sekundären Minerale sind: Kalzit, Chlorit, Epidot, Zoisit, Quarz und Limonit.

Die quantitative chemische Analyse, sowie die NIGGLI-Werte (ausser *k*- und *ti*-Werten, die niedriger sind) ergaben, dass das Eruptivgestein aus normaldioritischem Magma entstanden ist.

Seinem Mineralbestand, der chemischen Analyse und den Parametern zufolge gehört das Gestein zu einem Grenzgebiet Andesit-Basalt. Wir haben das Eruptivgestein Augit-Labrador-Andesit genannt, weil in normativer Zusammensetzung Andesin mit 45,6% An gefunden wurde.

Es wurde auch eine Varietät des Eruptivgesteins von Orašine aus dem Kontaktgebiet mit Kalken untersucht. Die Struktur und der Mineralbestand sind sehr ähnlich dem früher beschriebenen Eruptivgestein. Das Gestein ist nur stärker metamorphosiert: die Pyroxene fast völlig, die Plagioklase teilweise. Das Gestein ist durch eine beträchtliche Anzahl von Mandeln, die mit Kalzit und weniger mit Chlorit ausgefüllt sind, charakterisiert.

Die chemische Analyse ergab ungewöhnliche NIGGLI-Werte, die man am besten deuten könnte, wenn wir voraussetzen, dass das Magma bei seinem Durchbruch CaO aus Kalken assimilierte.

Zagreb, März 1953

Mineralogisch-geologisches Institut der technischen Fakultät in Zagreb